

See discussions, stats, and author profiles for this publication at: <https://www.researchgate.net/publication/258778681>

# Получение и структура слоистых кристаллов Si<sub>2</sub>Te<sub>3</sub> (Production and structure of Si<sub>2</sub>Te<sub>3</sub> layered crystals)

Article in *Journal of Surface Investigation X-ray Synchrotron and Neutron Techniques* · January 2004

CITATIONS

0

READS

12

3 authors, including:



D. I. Bletskan

Uzhhorod National University

212 PUBLICATIONS 219 CITATIONS

[SEE PROFILE](#)



V. M. Kabatsii

Mukachevo State University

86 PUBLICATIONS 60 CITATIONS

[SEE PROFILE](#)

Some of the authors of this publication are also working on these related projects:



Electronic properties of semiconductor crystals [View project](#)

УДК 546.784'231

## ПОЛУЧЕНИЕ И СТРУКТУРА СЛОИСТЫХ КРИСТАЛЛОВ $\text{Si}_2\text{Te}_3$

© 2004 г. Д.И. Блецкан, В.Н. Кабаций, Т.А. Сакал

Ужгородский национальный университет, Ужгород, Украина

Поступила в редакцию 18.10.2003 г.

Приведены условия синтеза вещества и выращивания слоистых монокристаллов  $\text{Si}_2\text{Te}_3$  методами статической сублимации. Стабильная низкотемпературная  $\alpha$ -фаза  $\text{Si}_2\text{Te}_3$  кристаллизуется в тригональной решетке (пр.гр.  $P\bar{3}lc$ ) с параметрами  $a = 7,425$  и  $c = 13,467$  Å. Построены проекции структуры на плоскости (0001), (10 $\bar{1}$ 0) и (11 $\bar{2}$ 0) и дана их интерпретация.

### ВВЕДЕНИЕ

Широкий класс соединений типа  $A^{IV}B^{VI}$  включает помимо хорошо изученных халькогенидов свинца, олова и германия еще слабоизученные халькогениды кремния. Главной причиной того, что к настоящему времени халькогениды кремния недостаточно изучены, является их сильная гигроскопичность и трудности синтеза вещества и выращивания кристаллов.

Изучение диаграммы состояния системы Si–Te методами ДТА, рентгенофазового и микроструктурного анализов, а также тензиметрического исследования [1-3] показало, что в твердом состоянии в этой системе образуется только одно химическое соединение – сесквителлурид кремния ( $\text{Si}_2\text{Te}_3$ ), плавящееся инконгруэнтно при 1159 [3], 1165 [1, 5], 1168 [2]. Лишь в единственной работе [4] указывается, что соединение  $\text{Si}_2\text{Te}_3$  плавится конгруэнтно при 1162 К.

Авторами [1, 4] установлено полиморфное превращение  $\text{Si}_2\text{Te}_3$  при 673 К. Высокотемпературную  $\beta$ -модификацию не удается получить при нормальных условиях путем резкой закалки от температуры образца выше  $T_c$ . Сведения о границах области гомогенности фазы  $\text{Si}_2\text{Te}_3$  весьма противоречивы. При изучении  $p_{\text{Te}} - T$ -проекции системы Si–Te [5] показано, что область гомогенности не выходит за пределы составов 59,45 и 60,50 ат. % Te. Иного мнения придерживаются авторы [6], считая, что область гомогенности фазы на основе  $\text{Si}_2\text{Te}_3$  находится в пределах 60–66,6 ат. % Te. Используя три независимых метода: РФА, микроструктурный анализ и тензиметрический, авторы [3] уточнили область гомогенности, которая простирается от 59,6 до 60,25 ат. % Te.

Несмотря на то, что, на диаграмме состояния системы Si–Te представлено только одно устойчивое соединение  $\text{Si}_2\text{Te}_3$ , в литературе сообщается о существовании и других теллуридов кремния:  $\text{SiTe}_2$

[7] и  $\text{SiTe}$  [8]. Однако тщательное сопоставление электрических, оптических и фотоэлектрических свойств монокристаллов  $\text{Si}_2\text{Te}_3$  и кристаллов, которым приписывались формулы  $\text{SiTe}$  [7, 8] и  $\text{SiTe}_2$  [9, 10], указывает на их большое сходство. Эти факты, а также результаты рентгеноструктурного анализа, приведённые для  $\text{SiTe}_2$  в работе [11], позволяют заключить, что исследовавшиеся ранее кристаллы  $\text{SiTe}$  и  $\text{SiTe}_2$  идентичны  $\text{Si}_2\text{Te}_3$  с некоторыми отклонениями от стехиометрического состава как в сторону избытка Si, так и в сторону избытка Te.

### СИНТЕЗ ВЕЩЕСТВА И ВЫРАЩИВАНИЕ КРИСТАЛЛОВ

Наиболее простой метод получения вещества  $\text{Si}_2\text{Te}_3$  – прямое сплавление элементарных компонентов, взятых в стехиометрическом соотношении. В качестве исходных компонентов использовали монокристаллический кремний и специально подвергнутый дополнительной очистке теллур. Расчитанные навески компонентов загружали в предварительно очищенные химико-термической обработкой кварцевые ампулы длиной 160–180 мм и диаметром 18–20 мм. Загруженные ампулы откачивали до давления остаточных газов 133 Па и запаивали. Ввиду большой упругости паров теллура при высоких температурах возможен взрыв ампул, поэтому синтез вещества  $\text{Si}_2\text{Te}_3$  осуществляли в две стадии. На первой стадии кварцевую ампулу с исходной шихтой помещали в горизонтальную трубчатую печь сопротивления и нагревали до температуры 850–900 К со скоростью 0,1–0,2 К/с с последующей выдержкой при этой температуре в течение 15–20 ч, после чего температуру в печи повышали до 1200 К со скоростью 0,05–0,1 К/с. При этой температуре производили выдержку состава в течение 24 ч с целью обеспечения синтеза и гомогенизации расплава. Затем включали программное снижение температуры с заданной скоростью 0,2 К/с и получали поликристаллический слиток.

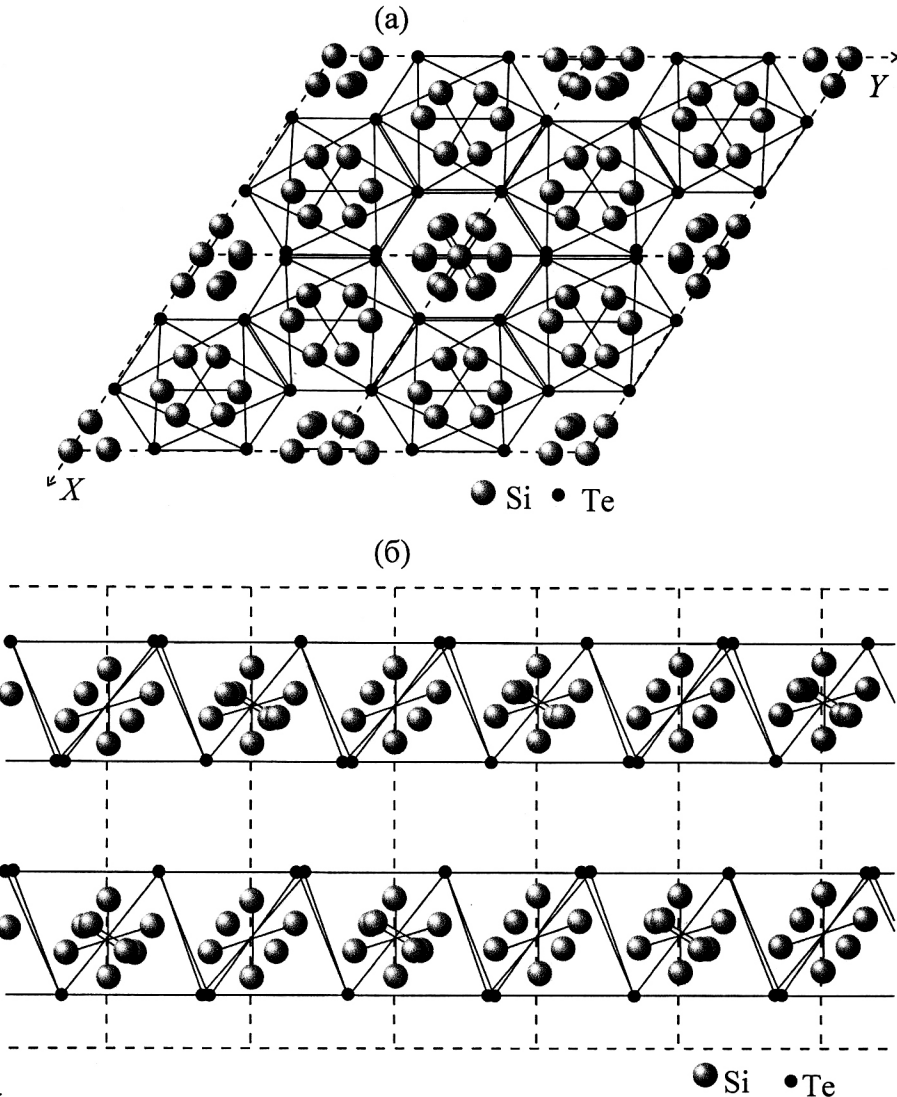


Рис. 1. Проекция структуры  $\text{Si}_2\text{Te}_3$  на плоскости (0001) (выделены четыре элементарных ячейки) (а) и (10 $\bar{1}$ 0) (б).

Выращивание кристаллов проводили в тех же самых ампулах, что и синтез вещества. С этой целью, не вскрывая ампулу, синтезированный продукт перемещали встремлением в один конец и помещали ее в двухзонную горизонтальную трубчатую электропечь. Перед началом сублимации пустой конец ампулы, где в последствии происходил рост кристаллов, выдерживали в течение часа при максимальной температуре. Наиболее оптимальными условиями выращивания кристаллов  $\text{Si}_2\text{Te}_3$  методом статической сублимации являются: температура зоны испарения  $T_{\text{исп}} = 1000$  К; температура зоны конденсации  $T_{\text{конд}} = 900$  К; продолжительность роста 40-50 ч. Точность поддержания температуры в процессе роста кристаллов составляла  $\pm 0,5$  К. При этих условиях в «холодной» зоне вырастало множество тонких пластинок, максимальные размеры которых достигали  $10 \times 8 \times 0,2$  мм. Кристаллы имели зеркальные поверхности (001) с осью с перпендикулярной плоскости скола.

## КРИСТАЛЛИЧЕСКАЯ СТРУКТУРА

Полученные кристаллы идентифицировали методом рентгенофазового анализа. По данным индексирования дифрактограмм, полученным на дифрактометре ДРОН-3 в  $\text{Cu}K\alpha$ -излучении, найдены параметры элементарной ячейки сесквителлурида кремния  $a = 7,425$ ,  $c = 13,467$  Å и  $Z = 4$ , которые оказались близкими к таковым, приведенным в [4].

Рентгеноструктурные исследования подтвердили, что стабильная низкотемпературная  $\beta$ -фаза  $\text{Si}_2\text{Te}_3$  кристаллизуется в триклинической сингонии, симметрия которой описывается пространственной группой  $P\bar{3}1c$  [4]. Проекции структуры на плоскости (0001), (10 $\bar{1}$ 0) и (11 $\bar{2}$ 0) представлены на рис. 1 и 2. В основе структуры гексагональная плотная упаковка (ГПУ) атомов теллура в двухпакетном виде, каждый из которых представляет два слоя атомов теллура, между которыми находятся атомы

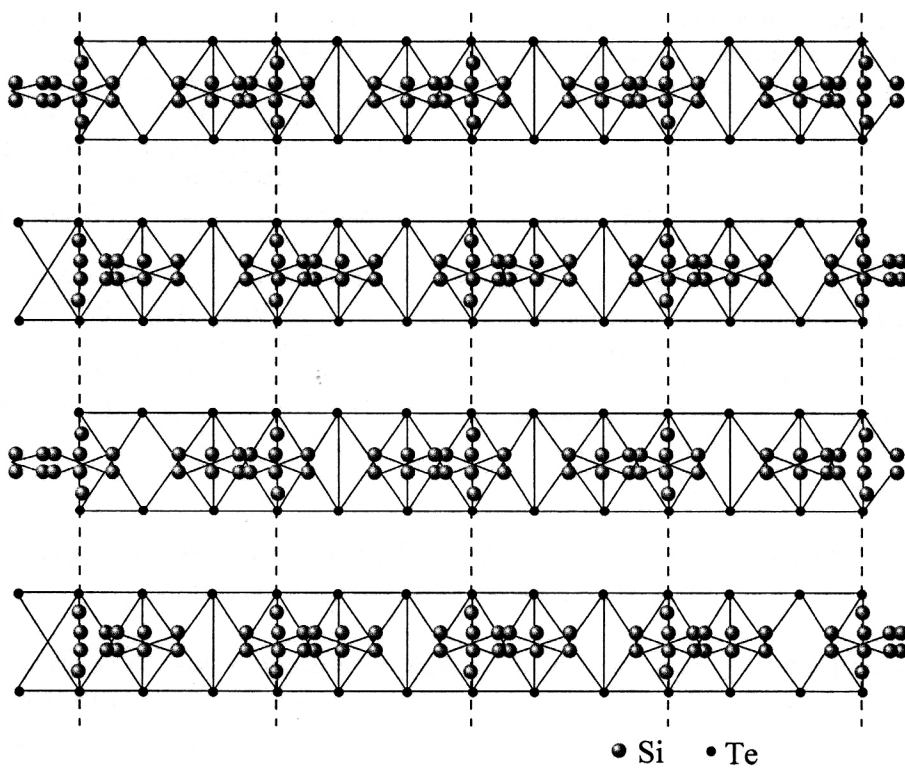


Рис. 2. Проекция структуры  $\text{Si}_2\text{Te}_3$  на плоскость  $(11\bar{2}0)$ .

кремния в виде гантельных образований  $\text{Si}_2$  в пустых межпакетных пространствах, расстояния между ближайшими атомами теллура двух соседних слоев 4,02 Å. Гантели атомов кремния могут располагаться двояко: или вертикально по всем четырем ребрам «с» ячейки с межатомным расстоянием  $\text{Si-Si} = 2,27$  Å, или близко к горизонтальному ( $\sim 18^\circ$  к горизонтальной плоскости) с расстоянием  $\text{Si-Si} = 2,35$  Å. Пары атомов кремния размещаются внутри почти правильных октаэдров из атомов теллура [Te<sub>6</sub>]. Атомы кремния вертикальных гантелеей находятся на расстояниях 2,53 Å от трех ближайших атомов теллура с валентными углами  $\text{Te-Si-Te} = 113,8^\circ$ . Атомы кремния «горизонтальных» гантелеей также координированы тремя ближайшими атомами теллура на расстояниях 2,45; 2,13 и 2,66 Å и с валентными углами  $\text{Te-Si-Te}$  112,4; 114,6 и 118,5° или 2,46; 2,56 и 2,61 Å и с углами 113,5; 114,9 и 116,9°. Таким образом, все атомы кремния координированы тетраэдрами [ $\text{SiTe}_3\text{Si}$ ], где четвертой вершиной тетраэдра является ближайший по гантели партнер – атом кремния.

Важнейшей особенностью структуры является статистическое размещение 8 атомов кремния в двух позициях 12*i* и одной 4*e*. Указанные позиции заполнены с дефицитом в 71 %, поскольку в них вместо 28 атомов кремния размещаются лишь 8. Причем, в первой позиции 12*i* размещаются 4 ато-

ма, во второй – 2 атома и в позиции 4*e* – тоже 2 атома. Иными словами обе позиции 12*i* заняты на 1/3 или 1/6 соответственно, а позиция 4*e* – наполовину. Таким образом, оказывается, что гантели  $\text{Si}_2$  распределяются в структуре на «вертикальные» и «горизонтальные» в соотношении 1:3.

Такая особенность – гантельное спаривание атомов компонентов соединений – достаточно широко известна, особенно для структур халькогеногиподифосфатов двухвалентных металлов (гантели P–P), сульфида галлия (Ga–Ga) и др. Но с частично заселенными спаренными атомами координатными позициями структура  $\text{Si}_2\text{Te}_3$  представляет исключительную редкость, что оставляет широкие возможности обсуждения свойств этого соединения.

## ЗАКЛЮЧЕНИЕ

Поликристаллический  $\text{Si}_2\text{Te}_3$  наиболее просто получается прямым сплавлением элементарных компонентов, взятых в стехиометрическом соотношении. Монокристаллы  $\text{Si}_2\text{Te}_3$  получаются как из расплава методом Бриджмена [4], так и из газовой фазы методом сублимации.

Слоистая структура сесквителлурида кремния подобна структурам халькогеногиподифосфатам двухвалентных металлов и GaS и характеризуется статистическим распределением атомов Si по двум

кристаллографическим неэквивалентным положениям в слоях каркаса из атомов теллура, образующих плотнейшую гексагональную упаковку.

#### СПИСОК ЛИТЕРАТУРЫ

1. *Bailey L.G.* // J. Phys. Chem. Solids. 1966. V. 27. № 10. P. 1593.
2. *Legendre B., Souleau C., Hancheng C., Rodier N.* // J. Chem. Res. Synop. 1978. № 5. P. 168.
3. *Один И.Н., Иванов В.А.* // Жур. неорган. химии. 1991. Т. 36. № 5. С. 1314.
4. *Ploog K., Stetter W., Nowitzki A., Schönherr E.* // Mater. Res. Bull. 1976. V.11. № 8. P. 1147.
5. *Brebrick R.F.* // J. Chem. Phys. 1968. V. 49. № 6. P. 2584.
6. *Gregoriades P.E., Bleris G.L., Stoemenos J.* // Acta Crystallog. B. 1983. V. 39. № 4. P. 421.
7. *Weiss A., Weiss A.* // Z. anorg. allg. Chemie. 1953. B. 273. № 3-5. P. 124.
8. *Smirous K., Stourac L., Bednar J.* // Czech. J. Phys. 1957. V. 7. № 1. P. 120.
9. *Lambros A.P., Economou N.A.* // Phys. Stat. Solidi. B. 1973. V. 57. № 2. P. 793.
10. *Rau J.W., Kannewurf C.R.* // J. Phys. Chem. Solids. 1966. V. 27. № 6/7. P. 1097.
11. *Weiss A., Weiss A.* // Z. Naturforschung. 1953. B. 8b. № 1. S. 104.

### Production and Structure of $\text{Si}_2\text{Te}_3$ Layered Crystals

D.I. Bletskan, V.N. Kabatsii, T.A. Sakal

The condition of material synthesis and layered  $\text{Si}_2\text{Te}_3$  single crystal growth by static sublimation methods were presented. The stable low-temperature  $\alpha$ -phase of  $\text{Si}_2\text{Te}_3$  had trigonal lattice ( $P\bar{3}lc$ ) with  $a = 7.425 \text{ \AA}$  and  $c = 13.467 \text{ \AA}$ . The structure projections on (0001), (10 $\bar{1}$ 0) and (11 $\bar{2}$ 0) were carried out and its interpretation was shown.



# МУКАЧІВСЬКИЙ ДЕРЖАВНИЙ УНІВЕРСИТЕТ

89600, м. Мукачево, вул. Ужгородська, 26

тел./факс +380-3131-21109

Веб-сайт університету: [www.msu.edu.ua](http://www.msu.edu.ua)

E-mail: [info@msu.edu.ua](mailto:info@msu.edu.ua), [pr@mail.msu.edu.ua](mailto:pr@mail.msu.edu.ua)

Веб-сайт Інституційного репозитарію Наукової бібліотеки МДУ: <http://dspace.msu.edu.ua:8080>

Веб-сайт Наукової бібліотеки МДУ: <http://msu.edu.ua/library/>